



تهجين المنطق المضبب وتغذية البكتيريا للسيطرة على مغير فولتية

مستمر SEPIC

مهندس أحمد سعد يحيى

أ.م.د. علي حسين احمد

جامعة الموصل / كلية الهندسة

الجامعة التكنولوجية / قسم الهندسة الكهربائية

فرع الهندسة الكهربائية قسم الهندسة الكهربائية

ahmed_saadmsc@yahoo.comah_control2007@yahoo.com

الخلاصة

تستخدم مغارات الفولتية المستمرة في كثير من التطبيقات الصناعية وال المجالات الطبية والالكترونية وغيرها بسبب كفاءتها العالية وصغر حجمها وزونها الخفيف. وعلى الرغم من هذه المميزات الا انها تعاني من مساوئ عدة مثل التنظيم الغير جيد لفولتية الارجاع وقلة الاستقرارية عند حدوث اضطرابات خارجية مثل تغير فولتية الادخال او التغير المفاجئ في قيمة الحمل او قيم عناصر النظام.

يقدم البحث نموذج تحليل رياضي لدائرة المغير SEPIC(Single Ended Primary Inductance Converter) والتي تعمل بنمط التوصيل المستمر بصيغة فضاء الحالة ودراسة استجابة دائرة المغير. لقد تم تصميم مسيطرونطي مضبب مضبط يدوياً للسيطرة على استجابة دائرة المغير. كما تم تصميم مسيطرونطي مضبب مكيف مع تقنية تغذية البكتيريا للسيطرة على عمل المفتاح لدائرة المغير SEPIC لتنظيم فولتية الارجاع والحصول على اداء جيد.

تم تحليل نتائج المحاكاة ومقارنة اداء النظام عند احمال مقاومية وفولتنيات مرجعية مختلفة حيث لوحظ ان هناك تحسن كبير في الاداء لحالة المسيطرونطي مضبب المضبط باستخدام خوارزمية تغذية البكتيريا مقارنة مع المسيطرونطي مضبب مضبط يدوياً وكذلك مع حالة النظام في الحلقة المفتوحة كما تم التغلب ايضاً على مشكلة ضعف تنظيم فولتية الارجاع عند حدوث اضطرابات خارجية كما ان الزمن المستخدم لعملية التضبيب اصبح اقصر.

الكلمات الدالة: المغير (SEPIC)، المسيطرونطي مضبب، خوارزمية تغذية البكتيريا.



Hybrid Fuzzy Logic / Bacterial Foraging Voltage Control Of SEPIC D.C – D.C Converter

Assist Prof. Dr. Ali Hussain Ahmed Engineer Ahmed Saad Yahya

University of Technolog /Electr. Engg. Dept. University of Mosul / College of
Engg.

Electrical Engineering Branch

Electrical Engineering Dept.

Ah_control2007@yahoo.com ahmed_saadmsc@yahoo.com

Abstract

The DC to DC applications are used in many industrial, medical and electronic converters, because of their high efficiency, small size and light weight. In spite of these features, they suffer from several disadvantages such as unregulated output voltage and lack of stability due to the change in input voltage and sudden change in load or system parameters.

This paper presents the mathematical model of the SEPIC converter circuit operating in the continuous conduction mode (CCM) in state-space form and the converter circuit output is investigated. Fuzzy Logic controller with manual tuning is designed for controlling the converter circuit. Fuzzy Logic based Bacteria Foraging Algorithm (FLC&BFA) Controller is proposed to design controller for controlling the switch operation of the SEPIC converter circuit for regulation of its output voltage and getting good performance.

Simulation results were analyzed and compared the response performance of system for different resistive loads and reference



voltages, it was noticed that there was a significant performance improvement for the controller states used the bacteria foraging algorithm, compared with the state of fuzzy logic controller with manual tuning and also compared with the open loop system. also the unregulated output voltage issue was overcome in the present of external disturbance and it need a negligible time for tuning.

Keywords: SEPIC Converter, Fuzzy Logic Controller, Bacteria Foraging Algorithm(BFA).

١. المقدمة (Introduction)

اصبح شائعاً في هذه الايام استخدام مغير الفولتية المستمرة خاصة في المعدالت والاجهزه الالكترونية المحمولة الحديثة. ونلاحظ في الاجهزه المتنقلة التي تعمل على البطارية وعندما لا تكون مربوطة الى المصدر المتداوب A.C تقوم البطارية بتجهيز فولتية ادخال الى المغير والذي يقوم بدوره بتحويلها الى فولتية اخراج مناسبة للحمل. اما فولتية البطارية فتتغير بمدى اعلى او اقل من الفولتية المختارة للبطارية اعتماداً على مستوى الشحن، فعندما يكون مستوى الشحن واطئ ربما يؤدي ذلك الى هبوط الفولتية وتصبح اقل من فولتية الحمل المقررة، ومن اجل استمرار تجهيز الفولتية للحمل بصورة ثابتة وبمستوى اعلى او اقل من الفولتية الداخلية للبطارية فيجب ان يكون المغير قادر على العمل في حالتي خفض ورفع الفولتية [1].

تم اختيار دائرة المغير SEPIC في هذا البحث، كما تناول البحث تصميم مسيطر منطقي مضبب مضبب يدوياً وكذلك تصميم مسيطر منطقي مضبب مضبب باستخدام تقنية تغذية البكتيريا للسيطرة على فولتية الارجاع لدائرة المغير SEPIC لغرض تحسين اداء وخصائص استجابة دائرة المغير.

٢. التمثيل الرياضي لدائرة المغير SEPIC

ان دائرة المغير SEPIC والتي هي موضوع البحث احد الانواع المتطرفة التي ظهرت مباشرة بعد دائرة المغير CUK. ويتم من خلالها الحصول على فولتية اعلى او اقل من فولتية الادخال وتكون بنفس قطبية فولتية الادخال وهذه الميزة غير متوفرة في الدوائر الخاضعة الرافعة للفولتية اي في النوعين (Buck-Boost converter) و(CUK converter) التي تكون فيها قطبية فولتية الارجاع بعكس قطبية فولتية الادخال وهذه المشكلة يمكن التغلب عليها بإضافة محولة عزل في الدائرة ولكنه سيؤدي الى زيادة في حجم وتكلفة المغير [2].

ان معدل فولتية الارجاع تكون بدلالة نسبة فترة التوصيل D ويمكن حسابها باستخدام المعادلة التالية [3]:

هناك حالتين تمر بها دائرة المغير اثناء العمل استناداً الى حالة المفتاح الالكتروني (Q) خلال فترة زمنية (T) واحدة، الاولى عندما يكون المفتاح مغلق خلال الفترة الزمنية DT، والاخري عندما يكون المفتاح مفتوح وهذه خلال الفترة الزمنية (D-1).

ان الصيغة العامة لمعادلات فضاء الحالة لدائرة المغير SEPIC تعطى بالمعادلات التالية:

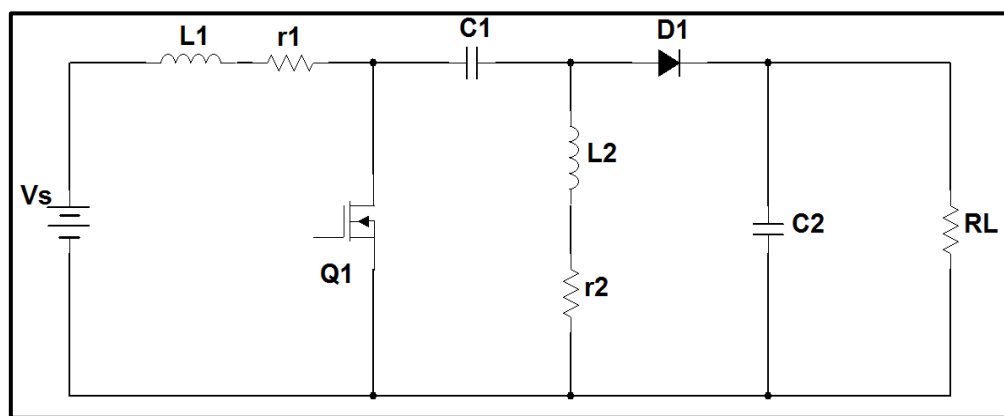
حیث ان:

X: متوجه إشارة الإدخال (m^*1)؛ u: متوجه إشارة الإخراج (L^*1)

B : مصفوفة الإدخال $(n*m)$ ، A : مصفوفة النظام $(n*n)$

E : مصفوفة الربط المباشر بين الإدخال والإخراج (L^{*n})، C : مصفوفة الإخراج (m^{*L})

تكون دائرة المغير SEPIC من مفتاح Q1 (ترازستور من نوع MOSFET) والثانية القدرة Power Diode(D1) ومحاتنان (L_1, L_2) ومتستان (C_1, C_2) وحمل مقاومي (R_L). وكما موضح بالشكل (1a).

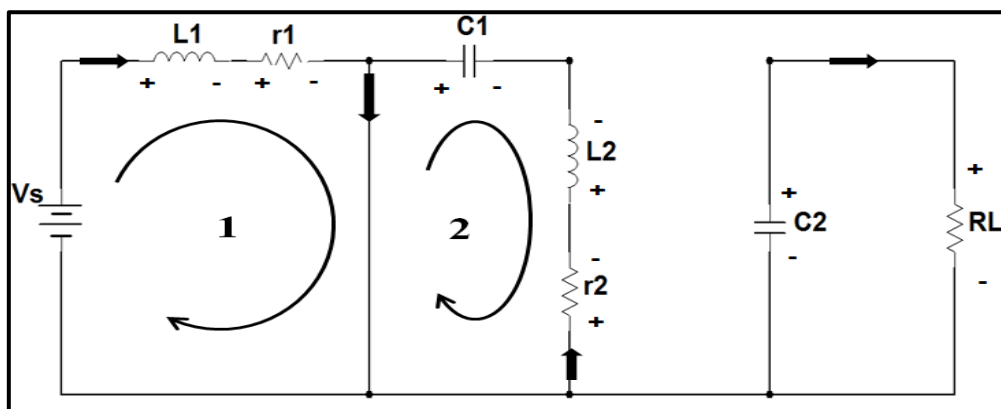


الشكل (1a) دائرة المغير SEPIC

عندما يكون المفتاح (Q1) في حالة توصيل (ON) خلال الفترة الزمنية (DT) يكون الثنائي Diode في حالة انحياز عكسي، ان الملف الأول L1 يشحن من قبل فولتية الادخال



ويخزن الطاقة وتقوم المتعدة المشحونة C_1 بنقل الطاقة الى الملف الثاني L_2 في حين الملف الثاني L_2 ايضاً لهذه المرحلة. أما متعدة الإخراج C_2 المشحونة فتجهز التيار للحمل RL وان دائرة المغير لهذه الحالة موضحة بالشكل (4)[1b].



الشكل (١b) الدائرة المكافئة للمغير SEPIC عند حالة الغلق للمفتاح

نفرض بأن:

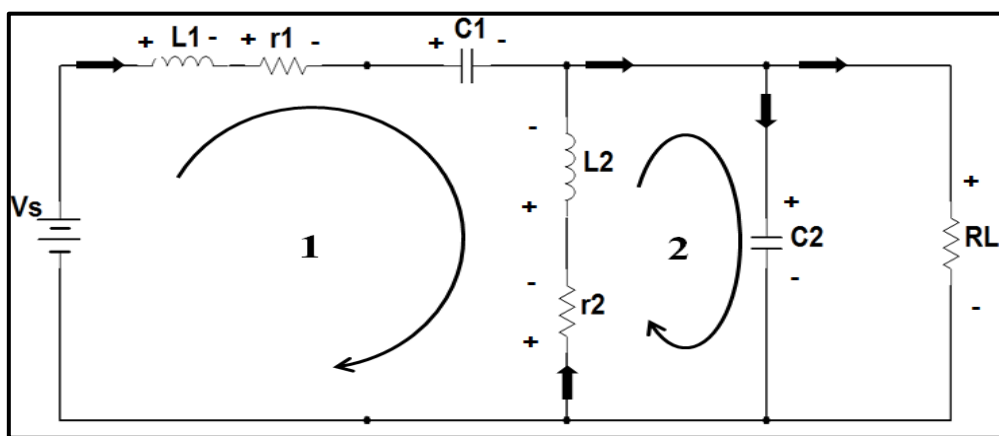
$$(x_2 = i_{L2} : L_2) \quad \text{تيار المحاثة الثانية } (x_1 = i_{L1} : L_1) \quad \text{تيار المحاثة الاولى}$$

$$x_4 = V_{C2} \quad \text{فولتية المتعدة الثانية} \quad (x_3 = V_{C1}) \quad \text{فولتية المتعدة الاولى} \quad (V_{C1})$$

باستخدام قانون كيرشوف للفولتية وكتابة المعادلات الرياضية للدائرة خلال هذه الفترة الزمنية وبعد اعادة ترتيب المعادلات لتكون بشكل فضاء الحالة فان مصفوفات النظام تصبح:

$$A1 = \begin{bmatrix} -\frac{r_1}{L_1} & 0 & 0 & 0 \\ 0 & \frac{-r_2}{L_2} & \frac{1}{L_2} & 0 \\ 0 & \frac{-1}{C_1} & 0 & 0 \\ 0 & 0 & 0 & \frac{-1}{R_L C_2} \end{bmatrix}, B1 = \begin{bmatrix} \frac{1}{L_1} \\ 0 \\ 0 \\ 0 \end{bmatrix}, C1 = [0 \ 0 \ 0 \ 1], E1 = 0$$

أما في الحالة الثانية للدائرة خلال الفترة الزمنية (1-DT) عندما يكون المفتاح (Q1) في حالة القطع (Off) يكون الثنائي Diode في حالة انحياز امامي والملف الاول L1 يشحن المت}sعة C1 ويجهز تيار للحمل RL. الملف الثاني L2 يكون مربوط الى الحمل فيقوم بشحن مت}sعة الإخراج C2 وبتجهيز التيار للحمل RL ايضاً، وان دائرة المغير موضحة بالشكل (1c). [4]



باستخدام قانون كيرشوف للغولية وكتابة المعادلات الرياضية للدائرة خلال هذه الفترة الزمنية وبعد إعادة ترتيب المعادلات لتكون بشكل فضاء الحالات فإن مصفوفات النظام تصبح:

$$A2 = \begin{bmatrix} \frac{-r_1}{L_1} & 0 & \frac{-1}{L_1} & \frac{-1}{L_1} \\ 0 & \frac{-r_2}{L_2} & 0 & \frac{-1}{L_2} \\ \frac{1}{C_1} & 0 & 0 & 0 \\ \frac{1}{C_2} & \frac{1}{C_2} & 0 & \frac{-1}{RL_C2} \end{bmatrix}, B2 = \begin{bmatrix} \frac{1}{L_1} \\ 0 \\ 0 \\ 0 \end{bmatrix}, C2 = [0 \quad 0 \quad 0 \quad 1], E^r = 0$$

يمكن كتابة المصفوفات العامة للنظام التي تضم الحالتين وبدلاً نسبية فترة التوصيل D وكما يأتي:[5]

و بالتالي، فإن المصفوفات النهائية للنظام تكون:

الشكل (١c) الدائرة المكافحة للمغير SEPIC عند حالة الفتح للمفتاح

$$\left[\begin{array}{ccccc} \frac{-r_1}{L_1} & 0 & \frac{D-1}{L_1} & \frac{D-1}{L_1} \\ 0 & \frac{-r_2}{L_2} & \frac{D}{L_2} & \frac{D-1}{L_2} \\ \frac{1-D}{C_1} & \frac{-D}{C_1} & 0 & 0 \\ \frac{1-D}{C_2} & \frac{1-D}{C_2} & 0 & \frac{-1}{RL C_2} \end{array} \right] A =, B = \begin{bmatrix} \frac{1}{L_1} \\ 0 \\ 0 \\ 0 \end{bmatrix}, C = [0 \quad 0 \quad 0 \quad 1]$$

٣. تصميم دائرة المغير SEPIC

تعتمد قيم محاثات دائرة على بعض البيانات مثل تردد الفتح والغلق للمفتاح وفترة التوصيل D وقيمة مصدر الفولتية وقيمة مقاومة الحمل ومقدار التأرجح (ripple) في فولتية المتساعات، وباستخدام قانون كيرشوف للفولتية تكون معادلات دائرة المغير SEPIC كالتالي:

للغرض ايجاد القيم التصميمية لدائرة المغير تم تثبيت قيمة نسبة فترة التوصيل $D=0.5$ ، كما تم اعتماد وتثبيت قيم البيانات التالية في ايجاد القيم التصميمية لدائرة المغير وكالتالي:

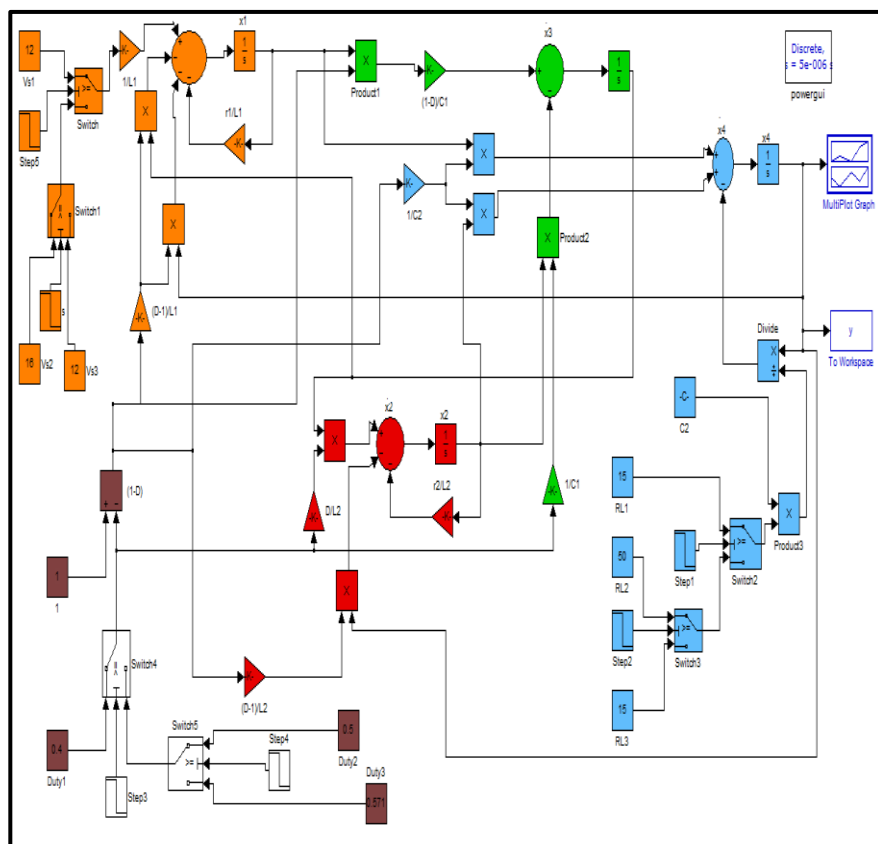
$$\{ V_s=12V, R_L=15\Omega, F_s=5KHZ, \Delta v_{C1} = 0.17V (1.41\% v_{C1}), V_{ripple} = 0.1V (0.833\% v_{C1}) \}$$

وبتعويض هذه القيمي معدلات التصميم المذكورة اعلاه فان القيم التصميمية لدائرة المغير تكون:

$$(L_1=1\text{mH}, L_2=0.9\text{mH}, C_1=470\mu\text{F}, C_2=1000\mu\text{F})$$



بعد الحصول على مصفوفة النظام العامة (A) التي تضم الحالتين أصبح بالإمكان تحويل المنظومة من معادلات فضاء الحالة إلى المخطط الكتلي وكما موضح بالشكل(2).



الشكل (٢) المخطط الكتلي دائرة المغير SEPIC



٤. تصميم مسيطر منطقى مضبب

تعد السيطرة المضببة واحدة من أكثر استخدامات المنطق المضبب نجاحاً وشيوعاً، الميزة الأساسية لها هي استخدامها متغيرات لغوية بدلاً من المتغيرات الرقمية، وإن هذه المتغيرات اللغوية تعرف كمتغيرات تملك قيمًا يمكن صياغتها بجمل كلغة طبيعية، تستخد被 المسيطرات المضببة في التحكم على الانظمة المعقدة بمساعدة الخبرة البشرية، إن المسيطرات المضببة تعطي القدرة للمصمم للسيطرة على الانظمة غير الخطية. إن بنية السيطرة المضببة تتكون من أربعة مركبات اساسية هم أولاً (التضبيب) وهو أول عنصر في المسيطر المضبب وتنتمي فيه عملية تحويل الإدخالات الاعتيادية للمسيطر المضبب إلى قيم لغوية ذات درجات عضوية مختلفة لتكون جاهزة للمعالجة من قبل آلة الاستدلال الطبيعي، وثانياً (قاعدة القوانين) حيث أن القوانين يمكن ان تزود عن طريق المصمم من خلال دراسة حالات النظام بشكل دقيق ومفصل، وإن هذه القوانين تربط إدخالات المسيطر المضبب بإخراجاته، ثالثاً (آلة الاستدلال) تتم من خلالها عملية معالجة القوانين المضببة اعتماداً على قيم الإدخالات المضببة، رابعاً (ازالة التضبيب) وهي عملية تحويل الإخراج المضبب إلى إخراج ذات قيمة قطعية، وإن هذه القيمة القطعية يمكن ارسالها كإشارة سيطرة (control signal).

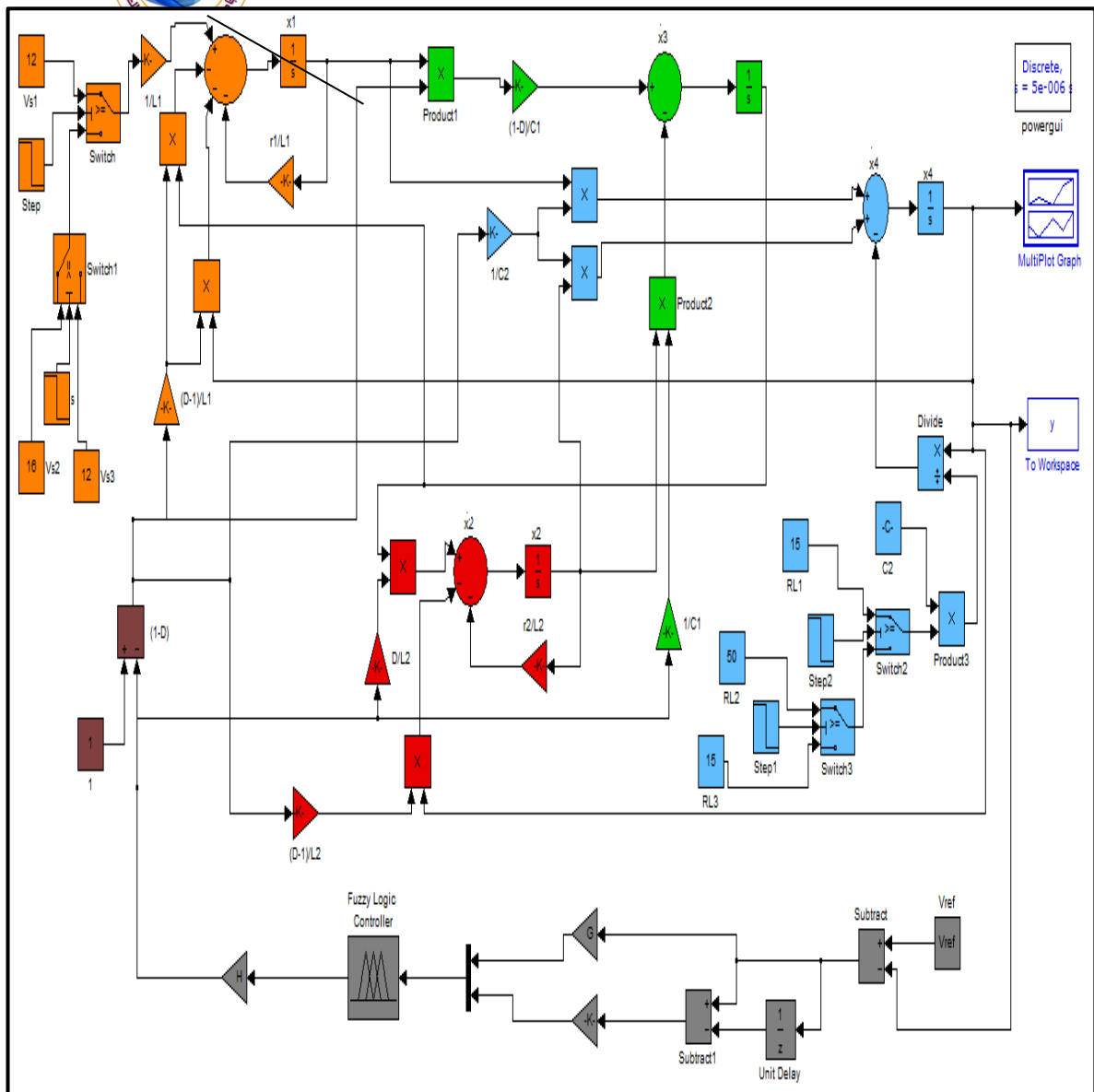
تم تصميم مسيطر منطقى مضبب للسيطرة على اخراج دائرة المغير عن طريق السيطرة على عملية الفتح والغلق للمفتاح كما موضح بالشكل (3)، تم اختيار ادخالين واخراج واحد عند تصميم المسيطر حيث يمثل الادخل الاول اشارة الخطأ (e) بينما يمثل الادخل الثاني اشارة التغير في الخطأ (Δe) أما اخراج المسيطر فتمثل إشارة سيطرة خارجة من المسيطر المضبب للسيطرة على فتح وغلق المفتاح الالكتروني (Transistor) وتمثل نسبة فترة توصيل المفتاح الالكتروني لدائرة المغير SEPIC وهذه الفترة تكون محسورة بين (0:1). لقد تم اختيار خمس دوال مثلية هي (Z : Z: (N: Negative), (NB: Negative Big), (P: Positive), (Zero), (PB: Positive Big)), فالنسبة للإدخال الاول الذي يمثل اشارة الخطأ (e) فإن الدوال العضوية له تكون موزعة من الفترة (-٤٠) إلى (٤٠) كما موضحة بالشكل (4a) حيث أن هذه القيمة تمثل المدى الذي يكون كافياً لاحتواء قيمة إشارة الخطأ، أما الإدخال الثاني الذي يمثل التغير في إشارة الخطأ (Δe) فإن الدوال العضوية الخمس تتوزع على المحور الأفقي للفترة من (-٥) إلى (٥) كما موضحة بالشكل (4b) حيث أن هذه القيمة تمثل المدى الذي



يكون كافياً لاحتواء قيمة التغيير في إشارة الخطأ، أما إخراج المسيطر فيمثل مدى التغير لفترة التوصيل D من [0:1] موزعاً عليها المتغيرات اللغوية الخاصة بدوال عضوية الإخراج. تم استخدام اسلوب استدلال نوع (Sugeno) في الصيغة العامة لكتابة القواعد اللغوية، حيث أن نوع الاستدلال هذا يكون مناسباً جداً للتحليلات الرياضية مقارنة مع اسلوب الاستدلال نوع (Mamdani) فضلاً عن كفاءته في العمليات الحسابية خصوصاً مع التقانات الخطية وملائمته في حسابات الامثلية، وان هذه القواعد اللغوية موضحة بالجدول (1).

الجدول (1) القواعد اللغوية الأساسية

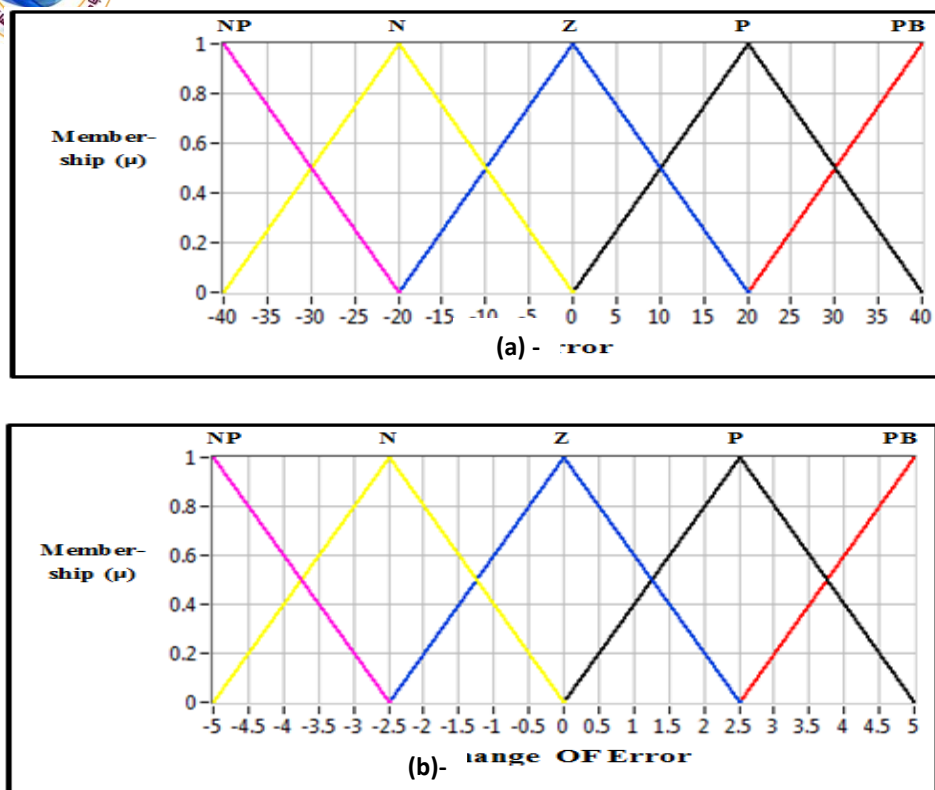
Δe e	NB	N	Z	P	PB
NB	NB	NB	NB	N	Z
N	NB	NB	N	Z	P
Z	NB	N	P	PB	PB
P	N	Z	P	PB	PB
PB	Z	P	PB	PB	PB



الشكل (3) المخطط الكتلي لدائرة المغير SEPIC مع المسيد المضبب باستخدام البرامجية

MATLAB

ونلاحظ من الشكل (3) أن نظام السيطرة الضبابي (F.C.S) يحتوي على عدة عناصر والتي من خلالها يمكن تعديل أداء المسيد الضبابي ومن هذه العناصر: هي معاملات القياس (Scaling Factors (G,H) . تم اختيار قيم عوامل القياس بشكل يدوي اي عمل تضبيط يدوي للحصول على أداء أفضل لدائرة المغير SEPIC مع المسيد المضبب من حيث أحسن خصائص النظام وأقل تجاوز حد Peak Over Shoot(P.O.Sh) واقل زمان ثبوت(steady state error (e_{ss}) و أقل خطأ حالة ثبوت (settling time(t_{ss})) .



شكل (4) دوال عضوية الادخال (a) الادخال الاول (b) الادخال الثاني

٥. خوارزمية تغذية البكتيريا

ظهرت في الآونة الأخيرة خوارزمية تغذية البكتيريا BFA كتقنية امثلية ناجحة في حل المشاكل التطبيقية المختلفة، وان تحقيق الافضلية باستخدام تقنية تغذية البكتيريا تم اقتراحها من قبل العالم باسينو في سنة 2002. [6]

تنتمي خوارزمية تغذية البكتيريا الى عائلة خوارزميات الانتقاء الطبيعي وهي احدى الخوارزميات المهيمنة في ميدان تحقيق الافضلية. ان عملية تحقيق الافضلية باستخدام خوارزمية تقنية تغذية البكتيريا تقوم على اساس الاختيار الطبيعي الذي يعمل على ازالة الحيوانات التي لها استراتيجية تغذية فقيرة وتفضّل الافراد التي تمتلك استراتيجية تغذية ناجحة. ان تقنية تغذية البكتيريا تحاكي سلوك حركة البكتيريا E-coli خلال بحثها عن المادة الغذائية. وتم حركتها خلال البحث عن الغذاء عن طريق السوط الذي يساعدها على السباحة او القفز [7].

ان هذه الاستراتيجية الطبيعية في التغذية يمكن ان تؤدي الى تحقيق الافضلية. قرار مجلس الوزراء رقم 10 لسنة 2013 [8] ينص على ان اختيار افضل تغذية يجعلها مفيدة الاستخدام في حل موضوع تحقيق الافضلية في كثير من المنشآت والمنشآت المختلفة.

تمر تقنية تغذية البكتيريا بأربعة مراحل مختلفة وهي: عملية التحفيز الكيميائي حيث تستطيع البكتيريا ان تقفز او تسبح خلال هذه العملية، والمرحلة الثانية عملية التحسيد والتي عندها تقوم كل بكتيريا بإعطاء اشارات تجاذب للبكتيريا الاخرى لغرض التحسيد سوية (بشكل مجموعات)، والمرحلة الثالثة هي اعادة الانتاج حيث ان البكتيريا الاقل صحة تموت والاكثر صحة تتفصل الى جزئين متشابهين وتوضع في نفس المكان، والمرحلة الرابعة هي الاندثار والتفرق فعندما يحصل تغير مفاجئ في البيئة فانه يؤدي الى قتل البكتيريا في المنطقة او ان المجموعة كاملة تترافق الى اجزاء جديدة من البيئة [9].

ويمكن تمثيل حركة البكتيريا في عملية التخفيز الكيميائي رياضياً بالمعادلة التالية:

حيث يمثل (i) عداد لتكوين مجتمع البكتيريا، ويمثل(j) عداد الخطوة لعملية التحفيز الكيميائي، ويمثل (θ^i) الموضع لكل فرد من البكتيريا في المجتمع، ويمثل (i)Cr حجم الخطوة الواحدة التي تؤخذ في اتجاه عشوائي، ويمثل(k) عداد لخطوة عملية إعادة الانتاج، ويمثل (l) عداد لعملية الاندثار والتفرق، بينما يشير الرمز (Δ) إلى المتجه الذي يكون في اتجاه عشوائي والذي قيم عناصره تقع في الفترة المغلقة [1,-1]. [10]

٦. تصميم المسطّر الهرجي

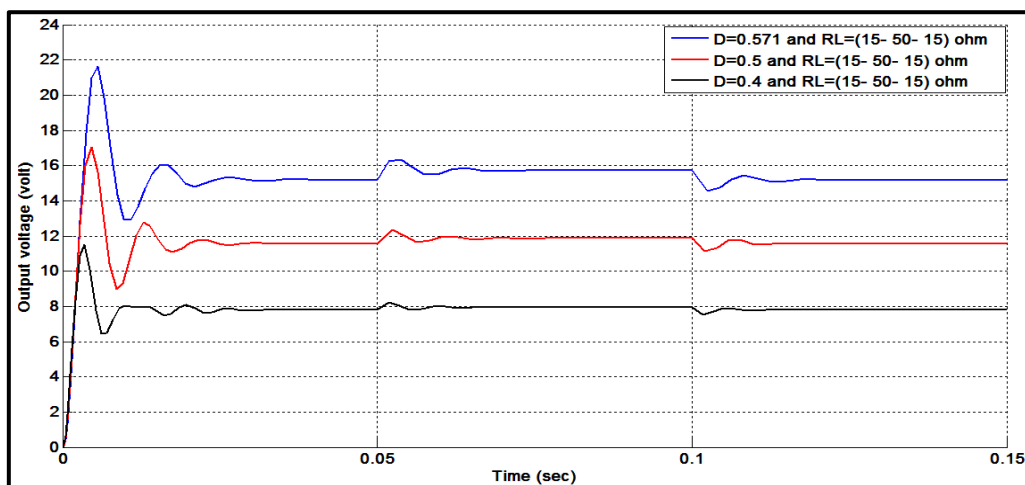
ان عملية الحصول على الاداء الجيد باستخدام المسيطر المضبب عند حالات تشغيل مختلفة (عند فولتیات مرجعية V_{ref} مختلفة) تعتبر مشكلة صعبة وذلك لأن المسيطر المضبب يفقد الى الاجراء المنظم للحصول عليه، افضل اداء من حيث اقل قيمة لتجاوز الحد (P.O.Sh)



وأقل زمن ثبوت (t_{ss}) وأقل خطأ ثبوت (e_{ss}). إن عملية اختيار قيم الكسب (G, H) للمسيطر المضبب يدوياً تحتاج إلى الوقت لوصول إلى قيم الكسب التي تعطي أفضل أداء، كما أنها تحتاج إلى العديد من المحاولات وهذه المحاولات تحتاج إلى زمن طويل، لذلك تم تصميم مسيطر مضبب هجين باستخدام تقنية تغذية البكتيريا لحساب أفضل قيم كسب للمسيطر المضبب والتي تجعل المسيطر يعمل بأفضل أداء، حيث تم اجراء تضييق للمسيطر المضبب باستخدام تقنية تغذية البكتيريا عن طريق برنامج هجيني لخوارزمية تغذية البكتيريا مع المسيطر المضبب يقوم باختيار أفضل موقع للبكتيريا في فضاء البحث، ولقد تم تمثيل قيمة عامل المقياس (G, H) للمسيطر المضبب كموقع للبكتيريا في المجتمع، فعندما يقوم البرنامج باختيار أفضل موقع للبكتيريا في فضاء البحث فإن البرنامج سيقوم باختيار أفضل قيمة لعامل المقياس (G, H) للمسيطر المضبب التي تعطي أفضل استجابة دائرة المغير (SEPIC).

٧. النتائج والمناقشة

تم بناء نموذج حاسوبي يحاكي منظومة المغير SEPIC بالاعتماد على المصفوفة العامة للنظام ومن ثم تشغيل واختبار دائرة المغير كنظام حلقة مفتوحة والاستجابة موضحة في الشكل (٥)، ومن النتائج الموضحة في الجدول (٢) تبين هناك مساوى كثيرة في استجابة واداء المغير.

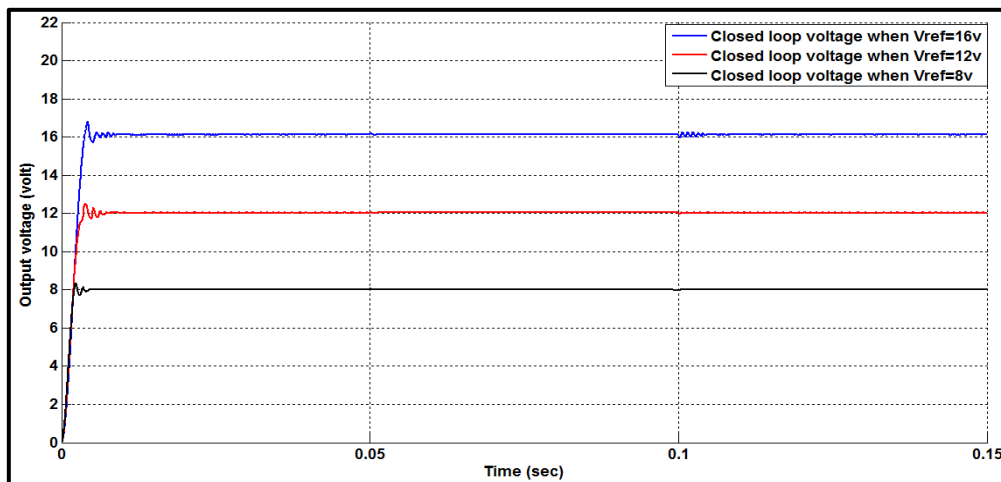


الشكل (٥) استجابة دائرة المغير (نظام الحلقة المفتوحة) ومقاومة حمل متغيرة (١٥- ٥٠- ١٥) او姆

ومن أجل تحسين استجابة المغير تم تصميم مسيطر منطقي مضبب وتضييقه يدوياً (اختيار قيم معامل الكسب بشكل يدوي) للحصول على أداء أفضل لدائرة المغير SEPIC مع المسيطر

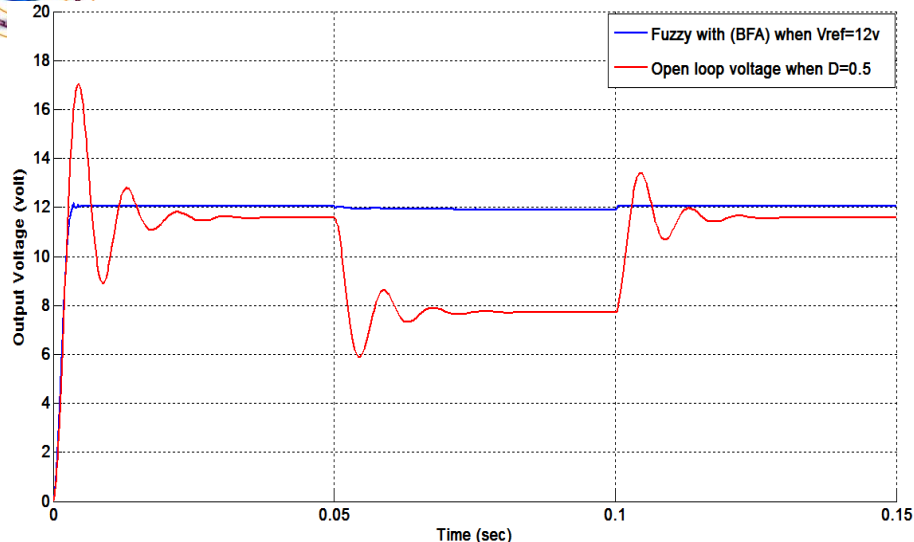


المضبب وان استجابة المغير موضحة في الشكل (٦)، ومن النتائج الموضحة في الجدول (٢) تبين هناك تحسن كبير في استجابة واداء المغير.

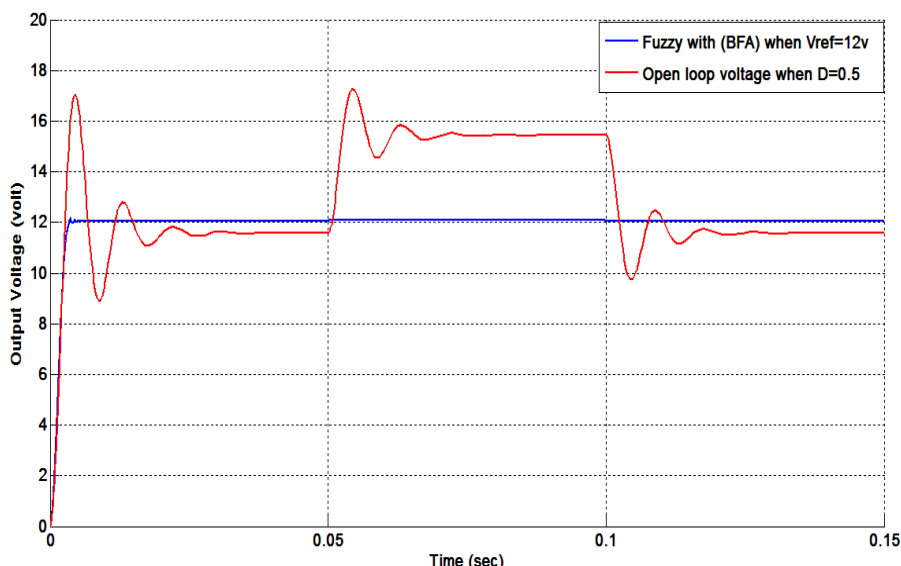


الشكل (٦) استجابة دائرة المغير بوجود المسيطـر المنطقـي المضـبـب المـيـطـر يـدوـيا وـقاـوةـ حـلـمـ متـغـيرـةـ (١٥-٥٠-١٥)ـ ثـانـيـةـ وـ٠.٠٠٥ـ ثـانـيـةـ (١٥-٥٠-١٥)ـ اـوـمـ عـنـ الـازـمـنـةـ

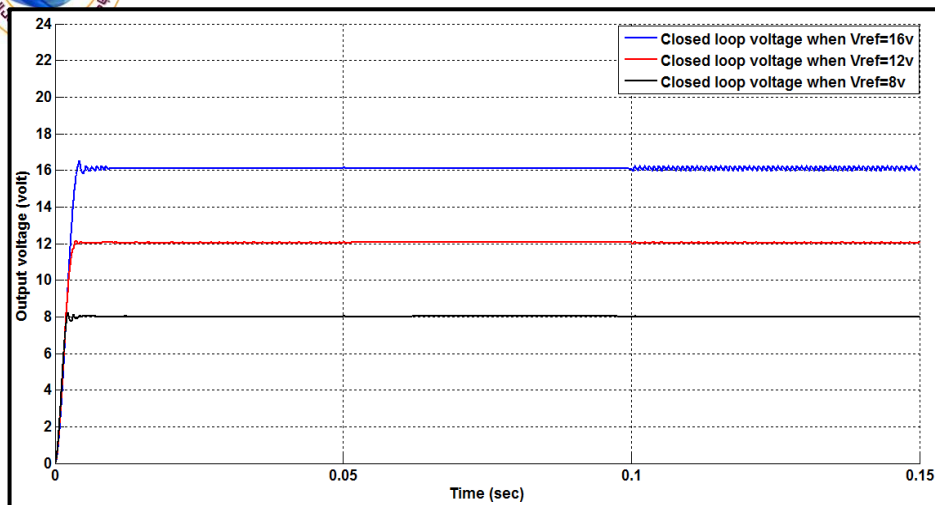
تم اقتراح تقنية تغذية البكتيريا لحساب افضل قيم كسب للمسيطـر المضـبـبـ التي تجعلـ المسيـطـرـ يـعـملـ بـأـفـضـلـ اـدـاءـ،ـ تمـ تـشـغـيلـ المـنـظـومـةـ دـائـرـةـ المـغـيـرـ معـ المـسـيـطـرـ الـهـجـينـ عـنـدـاـتـتـغـيـرـ فـولـتـيـةـ المـصـدـرـ V_L ـ وـمـقـارـنـتـهاـ مـعـ حـالـةـ الـحـلـقـةـ الـمـفـتوـحـةـ وـانـ الـاستـجـابـةـ مـوـضـحـةـ بـالـشـكـلـ (٧)ـ حيثـ نـلـاحـظـ بـأـنـ اـسـتـجـابـةـ دـائـرـةـ المـغـيـرـ بـوـجـودـ المـسـيـطـرـ الـهـجـينـ لـمـ تـتأـثـرـ (ـتـغـيـرـ طـفـيفـ)ـ عـنـ تـغـيـرـ فـولـتـيـةـ المـصـدـرـ وـبـالـتـالـيـ فـانـ اـسـتـقـارـيـةـ النـظـامـ اـصـبـحـتـ أـفـضـلـ،ـ وـيـوـضـحـ الشـكـلـ (٨)ـ اـسـتـجـابـةـ دـائـرـةـ المـغـيـرـ بـوـجـودـ المـسـيـطـرـ الـهـجـينـ عـنـ تـغـيـرـ قـيـمـةـ مـقاـوةـ الـحـلـمـ R_L ـ،ـ كـمـ يـوـضـحـ الجـدـوـلـ (٢)ـ مـقـارـنـةـ نـتـائـجـ اـسـتـجـابـةـ المـغـيـرـ بـيـنـ طـرـقـ التـصـبـيـطـ الـمـسـتـخـدـمـةـ عـنـ فـولـتـيـةـ الـمـرـجـعـيـةـ ($V_{ref}=12V$)ـ وـتـبـيـنـ مـنـ الجـدـوـلـ اـنـ نـتـائـجـ اـسـتـجـابـةـ المـسـيـطـرـ المـضـبـبـ مـعـ تـقـنيـةـ تـغـذـيـةـ الـبـكـتـيرـياـ كـانـتـ الـأـفـضـلـ.



(a)



(b)



جدول (2) مقارنة نتائج الاستجابة بين طرق التضييق عند الفولتية المرجعية ($V_{ref}=12V$)

	Open loop	FLC	FLC with BFA
P.O.sh. (%)	47.236	3.74	1.16
$t_{ss}(\text{ms})$	37.5	7.2	4.9
$e_{ss}(\%)$	3.5	0.25	0.249

ومن خلال الاشكال الموضحة والجدول (2) نلاحظ هناك تحسن ملحوظ في استجابة دائرة المغير مقارنة مع استجابة دائرة المغير في حالة المسيدر المضيّب المضيّب يدوياً، فضلاً عن وجود تحسن كبير في درجة الاستقرارية.



(Conclusions)

تم تحليل وتصميم دائرة المغير SEPIC في حالة الحلقة المفتوحة. تم استخدام طريقتين مختلفتين لتصميم مسيطر لغرض السيطرة على فولتية الارجاع لدائرة المغير SEPIC، فالطريقة الاولى كانت تصميم مسيطر منطقى مضبب يدوياً واما الثانية كانت تصميم مسيطر منطقى مضبب مضبب باستخدام تقنية تغذية البكتيريا. تم استخدام تقنية تغذية البكتيريا لحساب قيم الكسب للمسيطر مضبب التي تعطي افضل اداء لاستجابة الارجاع. من خلال نتائج الاستجابة للنظام تم الاستنتاج بان طريقة المسيطر المنطقى مضبب المسيطر باستخدام تقنية تغذية البكتيريا كانت الافضل مقارنة مع المسيطر مضبب يدوياً وكذلك مع حالة النظام في الحلقة المفتوحة كما تم التغلب ايضاً على مشكلة ضعف تنظيم فولتية الارجاع عند حدوث اضطرابات خارجية كما ان الزمن المستخدم لعملية التصحيح اصبح اقصر.

(References)

- [1] VuthchhayEng, UnnatPinsopon, and ChaninBunlaksananusorn,"Modeling Of a SEPIC Converter Operating in Continuous Conduction Mode" , Bangkok, IEEE, 2009.
- [2] Fang Lin Luo and Hong Ye, "Power Electronics, Advanced Conversion Technologies" United States of America, 2010.
- [3] Jiri Hammerbauer and Milan Stork, "State Space Study of the SEPIC Converter", IEEE, 21October 2013.
- [4] HyunsooKoh,"Modeling and Control of Single Switch Bridgeless SEPIC PFC Converter",M.Sc.Thesis.Virginia Polytechnic Institute and State University, July 13, 2012.
- [5] C. Kuo& F. Golnaraghi,"Automatic Control Systems", John Wiley and Sons Inc. U.S.A.,ISBN 978-0-471-13476-3, 9thEdition, 2009.



- [6] Sushree Sangita Patnaik and Anup Kumar Panda " Particle Swarm Optimization and Bacterial Foraging Optimization Techniques for Optimal Current Harmonic Mitigation by Employing Active Power Filter", Hindawi Publishing Corporation, Applied Computational Intelligence and Soft Computing, Volume 2012, Article ID 897127.
- [7] Sastry. V. R. S. Gollapudi, Dr. Shyam. S. Patnaik and Dr. O. P. Bajapai, "Intelligent Bacterial Foraging Optimization Technique To Calculate Resonant Frequency of RMA", International Journal Of Microwave And Optical Technology Vol.4, No.2, March 2009.
- [8] Xufeng Xu and Joydeep Mitra "Reliability Evaluation of Composite System Using Bacterial Foraging Algorithm" Stockholm Sweden - August 22-26, 2011.
- [9] Ahmed Bensenouci "PID Controllers Design For a Power Plant Using Bacteria Foraging Algorithm" IEEE, 16 June 2011
- [10] Joshua Samuel Raj and V. Vasudevan "Smart Bacterial Foraging optimization Algorithm for Scheduling in Grid" European Journal of Scientific Research, ISSN 1450-216X Vol. 94 No 2 January, 2013, pp.253-260.

Kirkuk University Journal /Scientific Studies (KUJSS)



Volume 12, Issue 3, June 2017

ISSN 1992 – 0849